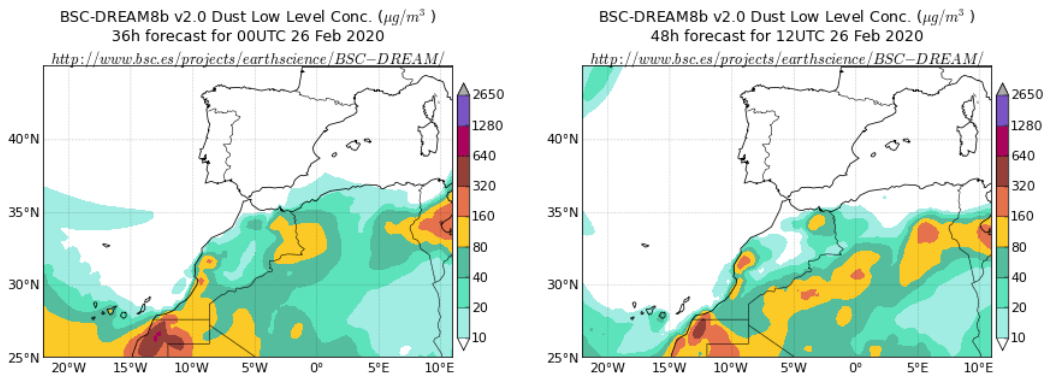


Predicción de intrusión de masas de aire africano sobre España para el día 26 de febrero de 2020

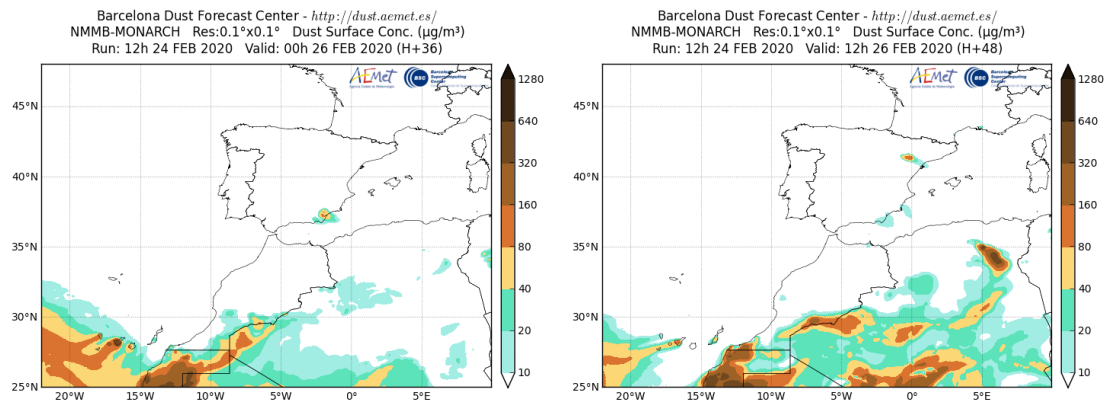
Los modelos consultados prevén la continuación del evento de transporte de masas de aire africano que está ocurriendo sobre las islas Canarias para el día 26 de febrero. Estiman concentraciones de polvo en superficie en el rango 10-320 $\mu\text{g}/\text{m}^3$. Según el modelo SKIRON también podría producirse depósito seco de polvo sobre las islas Canarias a lo largo del día.

El modelo BSC-DREAM8b v2.0 prevé la presencia de masas de aire africano a nivel de superficie sobre las islas Canarias para el día 26 de febrero. Estima concentraciones de polvo en el rango 10-160 $\mu\text{g}/\text{m}^3$.



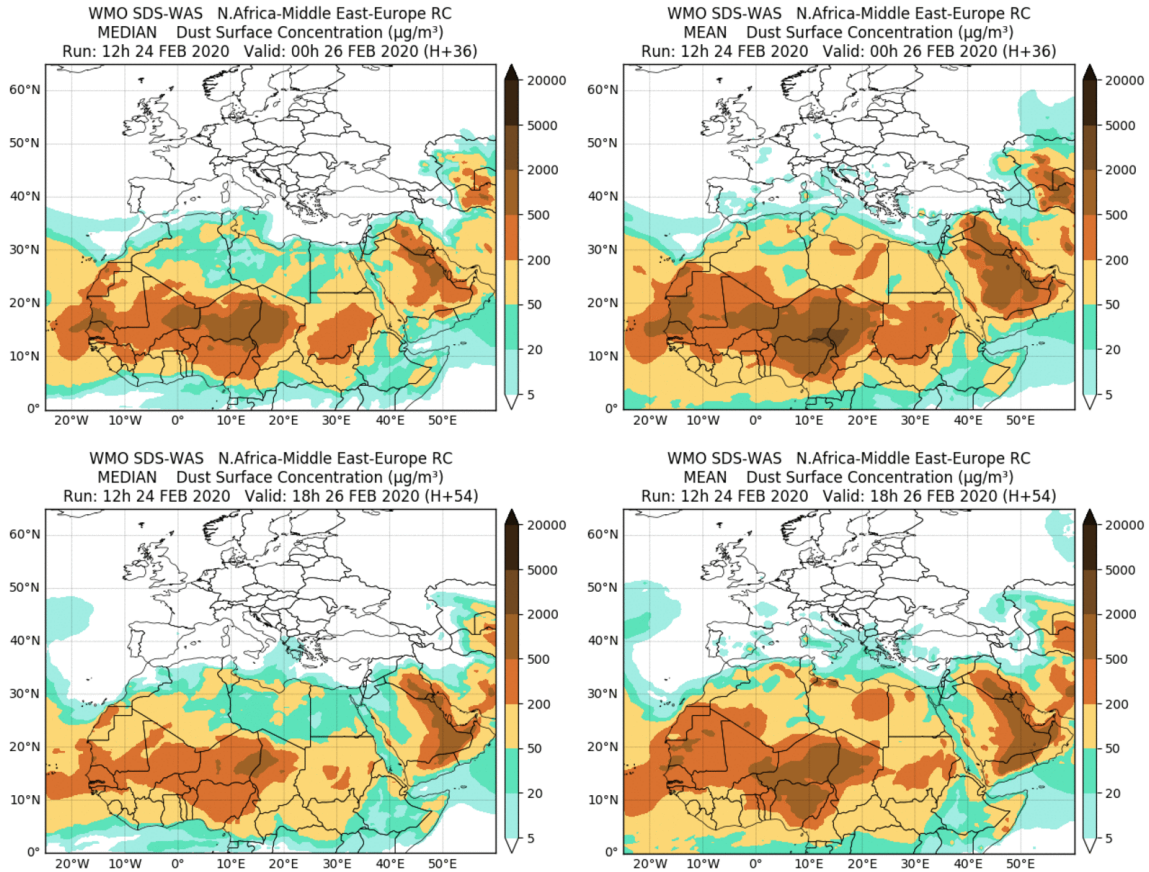
Concentración de polvo ($\mu\text{g}/\text{m}^3$) predicha por el modelo BSC-DREAM8b v2.0 para el día 26 de febrero de 2020 a las 00 UTC (izquierda) y a las 12 UTC (derecha). © Barcelona Supercomputing Center.

El modelo NMMB/BSC-Dust prevé también la presencia de masas de aire africano a nivel de superficie sobre las islas Canarias para el día 26 de febrero. Estima concentraciones de polvo en el rango 10-320 $\mu\text{g}/\text{m}^3$. Este modelo estima también concentraciones altas de polvo en superficie para la cuenca del Ebro y el sureste de la Península que podrían estar relacionadas con procesos de resuspensión local.



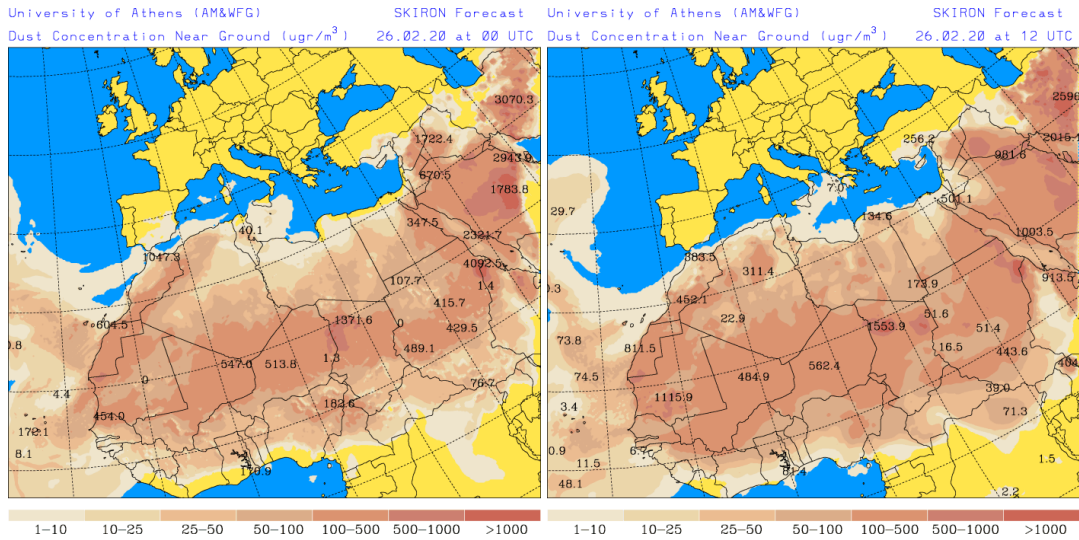
Concentración de polvo ($\mu\text{g}/\text{m}^3$) predicha por el modelo NMMB/BSC-Dust para el día 26 de febrero de 2020 a las 00 UTC (izquierda) y a las 12 UTC (derecha). © Barcelona Dust Forecast Center.

El resultado de la comparación de modelos proporcionada por SDS-WAS prevé también la presencia de polvo a nivel de superficie sobre las islas Canarias y el sur de la Península para el día 26 de febrero. Estima concentraciones de polvo en el rango 10-200 $\mu\text{g}/\text{m}^3$ para las islas Canarias y 5-20 $\mu\text{g}/\text{m}^3$ para la costa sur peninsular.



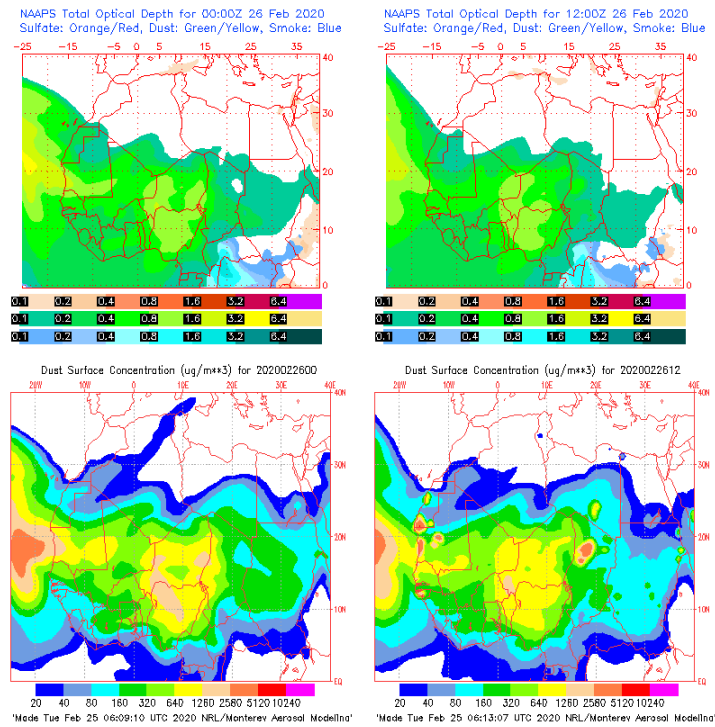
Resultados de la comparación de múltiples modelos de predicción de concentración de polvo (Mediana y Media en $\mu\text{g}/\text{m}^3$) para el día 26 de febrero de 2020 a las 00h y a las 18h UTC. Sand and Dust Storm Warning Advisory and Assessment System Regional Center for Northern Africa, Middle East and Europe (SDS-WAS NAMEE RC; <http://sds-was.aemet.es>), gestionado conjuntamente por la Agencia Estatal de Meteorología (AEMET; <http://www.aemet.es/>) y el Barcelona Supercomputing Center (BSC, <https://www.bsc.es/>).

El modelo SKIRON prevé también la presencia de masas de aire africano sobre la Península y las islas Canarias para el día 26 de febrero. Estima concentraciones de polvo en superficie en el rango 1-100 $\mu\text{g}/\text{m}^3$ para las islas Canarias e inferiores a 10 $\mu\text{g}/\text{m}^3$ para el sur de la Península.



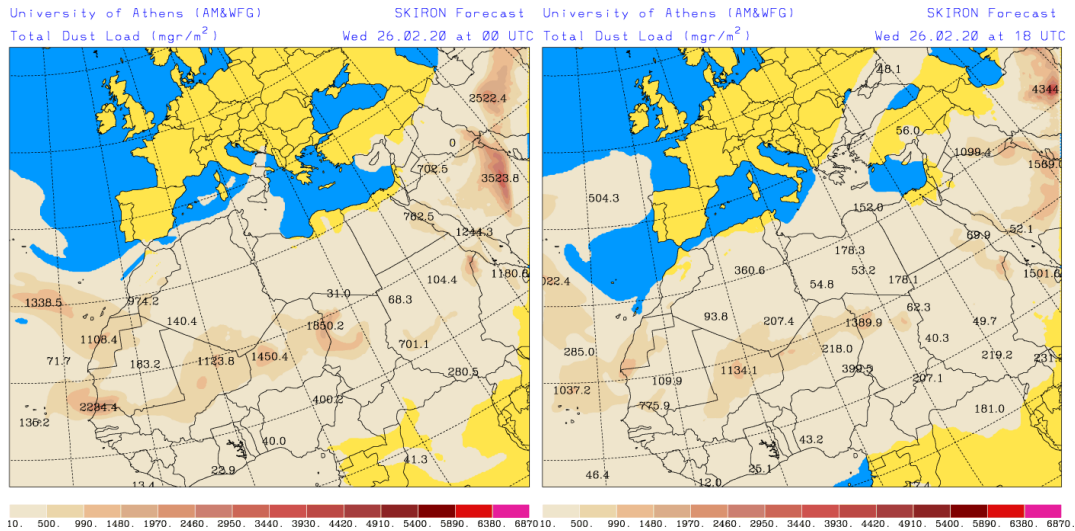
Concentración de polvo ($\mu\text{g}/\text{m}^3$) predicha por el modelo SKIRON para el día 26 de febrero de 2020 a las 00 UTC y a las 12 UTC © Universidad de Atenas.

El modelo NAAPS prevé también la presencia de masas de aire africano en superficie sobre las islas Canarias para el día 26 de febrero. Estima concentraciones de polvo en superficie en el rango 20-320 $\mu\text{g}/\text{m}^3$. Este modelo no prevé la presencia de polvo en superficie sobre la Península.

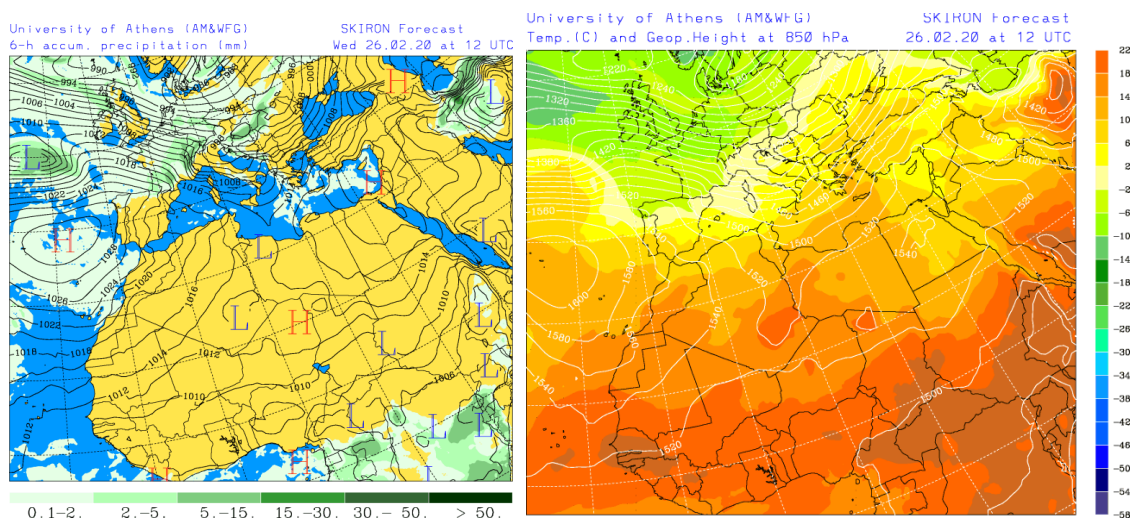


Espesor óptico de aerosoles a 550 nm (arriba) y concentración de polvo a nivel de superficie (abajo) previstos por el modelo NAAPS para el día 26 de febrero de 2020 a las 00 UTC y a las 12 UTC. ©Naval Research Laboratory (NRL), Monterey, CA.

Los mapas de carga total de polvo, así como los de presión a nivel del mar y altura geopotencial a nivel de 850 hPa proporcionados por el modelo SKIRON, muestran transporte de masas de aire africano sobre las islas Canarias, favorecido por el anticiclón situado al oeste de la Península.

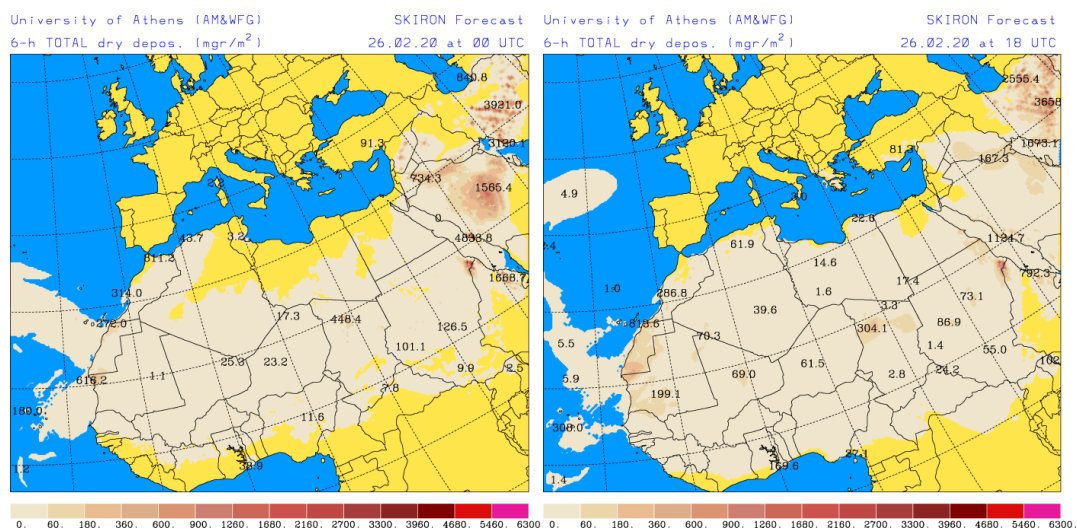


Carga total de polvo (mg/m^2) predicha por el modelo SKIRON para el día 26 de febrero de 2020 a las 00 UTC (izquierda) y a las 18 UTC (derecha). © Universidad de Atenas.



Precipitación acumulada (mm) y presión a nivel del mar (hPa) (izquierda) y campo de temperaturas ($^{\circ}\text{C}$) y de altura geopotencial a 850 hPa (derecha) previsto por el modelo SKIRON para el día 26 de febrero de 2020 a las 12 UTC. © Universidad de Atenas.

Según el modelo SKIRON también podría producirse depósito seco de polvo sobre las islas Canarias a lo largo del día 26 de febrero.



Depósito seco de polvo (mg/m^2) predicho por el modelo SKIRON para el día 26 de febrero de 2020 a las 00 UTC (izquierda) y a las 18 UTC (derecha). © Universidad de Atenas

 Fecha de elaboración de la predicción: 25 de febrero de 2020

Predicción elaborada por Noemí Pérez (IDAEA-CSIC)

Los datos son propiedad de la Dirección General de Calidad y Evaluación Ambiental, del Ministerio para la Transición Ecológica y el Reto Demográfico, y han sido obtenidos y se suministran en el marco del “Encargo del Ministerio para la Transición Ecológica a la Agencia Estatal Consejo Superior de Investigaciones Científicas para la detección de episodios naturales de aportes transfronterizos de partículas y otras fuentes de contaminación de material particulado, y de formación de ozono troposférico”.